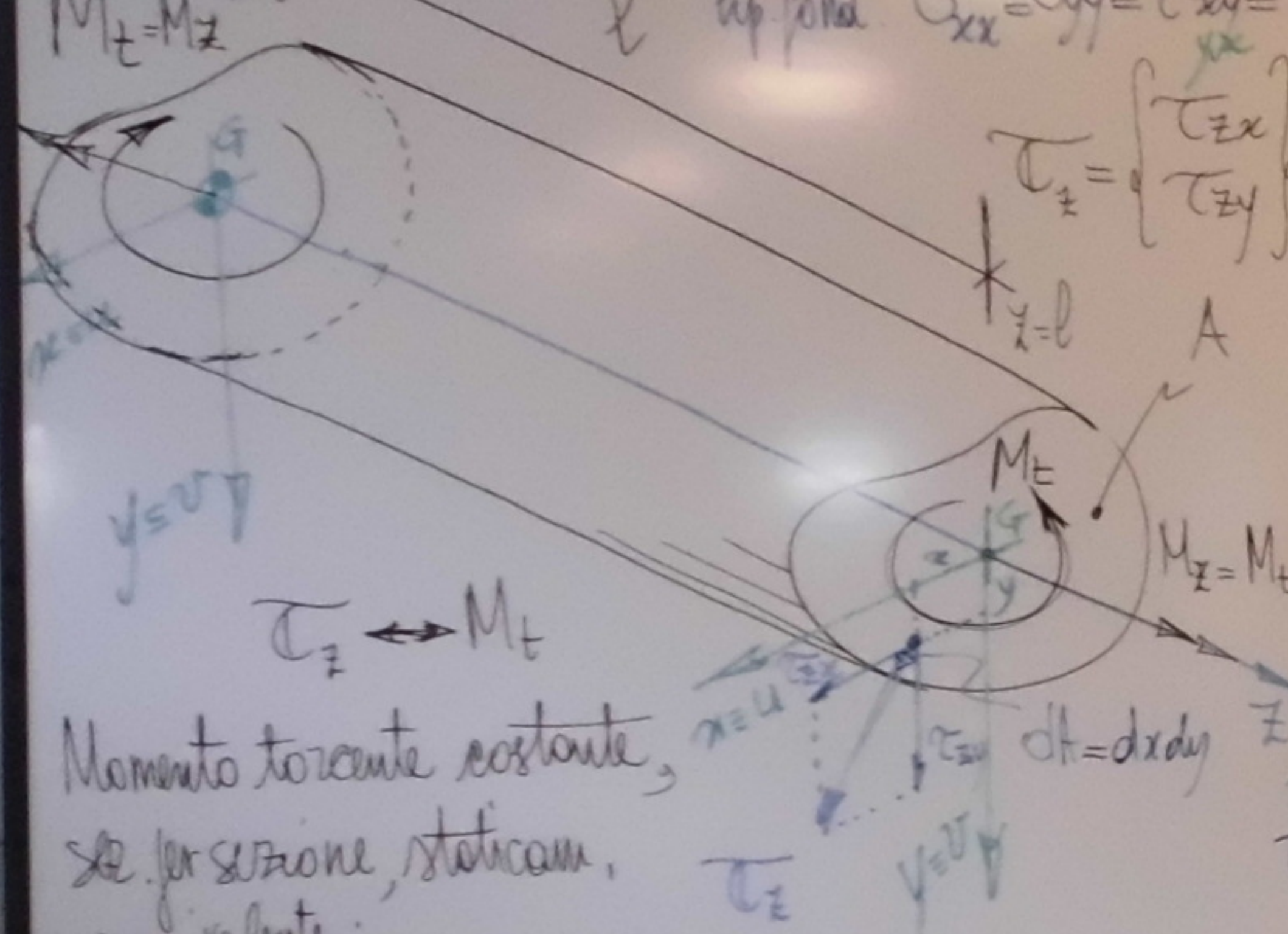


Caso di DSU:

TORSIONE

TORSIONE ($N = T_x = T_y = 0; M_x = M_y = 0$)

The diagram shows a beam of length l under torsion. At the left end, there is a circular cross-section with a shear stress distribution τ_{xy} shown as concentric circles. A vertical force vector $F_z = 0$ is applied at this end. The boundary condition is $M_t = M_z \neq 0$. At the right end, the beam is free, indicated by a dashed line. The boundary condition is $\alpha_{xx} = \alpha_{yy} = \tau_{xy} = 0$.



Momento torcente costante, se flessione statica, equivalente:

Equazioni di campo
 Eq equil. div $\tau_z = \tau_{xx,x} + \tau_{zy,y} = 0$
 Eq lung. $-(\text{rot } \tau_z)_z = \tau_{xy,y} - \tau_{yy,x} = -c$ $\forall A (x \in A)$ + Approccio agli spostamenti (per a fuori la struttura, imposto)

rot $\tau_z = \nabla \wedge \tau_z = \begin{vmatrix} i & j & K \\ \frac{\partial}{\partial x} & \frac{\partial}{\partial y} & \frac{\partial}{\partial z} \\ \tau_{xx} & \tau_{xy} & 0 \end{vmatrix} = \beta z$ (angolo umano fondandosi sull'osservazione sperimentale a ipotesi il segnale compone di rotazione in soluzione)

$-K(\tau_{zy,x} - \tau_{zx,y})$ con $c = \frac{d\theta}{dz} = \text{cost}$ $\Rightarrow \theta = \int c dz$ $\theta = \frac{M_t}{G}$

con r.e. $y = v$ - Rotaz. rigida nel piano:

$\tau_z \cdot n = \tau_{xx} n_x + \tau_{zy} n_y = 0$ $\forall I (x \in I)$ $\begin{cases} \epsilon_{xx} = \delta_{xx,x} = 0 \\ \epsilon_{yy} = \delta_{yy,y} = 0 \end{cases}$ $\tau_{xy} = 0 \Leftrightarrow \gamma_{xy} = \alpha_{xy,y} + \alpha_{yy,x} = -\beta z + \beta z = 0$ $\tau_{yz} = 0 \Leftrightarrow \epsilon_{zz} = \delta_{zz,z} = 0$

Segn. costitutiva: $\gamma_{ij} = \frac{\partial e_i}{\partial x_j} = \frac{T_{ij}}{G} = \frac{1}{E} V T_{ij}$ $G = \frac{E}{2(1+V)}$

- Esempio di approssimazione: $\tau_{xy} - \tau_{yy,x} = 0$

- Inquadramento piano: $\gamma_{xy} = \alpha_{xy,y} + \alpha_{yy,x} = \frac{1}{E} (\gamma_{yy,y} + \gamma_{yy,x}) = \gamma_{yy}$



$$\beta = \frac{c}{2G}$$

$$c = 2G\beta = 2 \frac{M_E}{J}$$

significato fisico alla cost. c,
dirett. prop. alla torsione β

$$\beta = \frac{M_t}{GJ}$$

- Eq. ne du congruenza

$$T_{z,x,y} - T_{z,y,x} = -C$$

$$G\beta \left(\psi_{xy} - 1 - \psi_{yx}^{-1} \right) = -c$$

+ Schwartz

du Schwarz

✓ u ✓

$$\text{Vedi lessione } 2 \quad \beta = \frac{M}{G}$$

- - Imposizione dell'equil. ;
Eq. di equil.

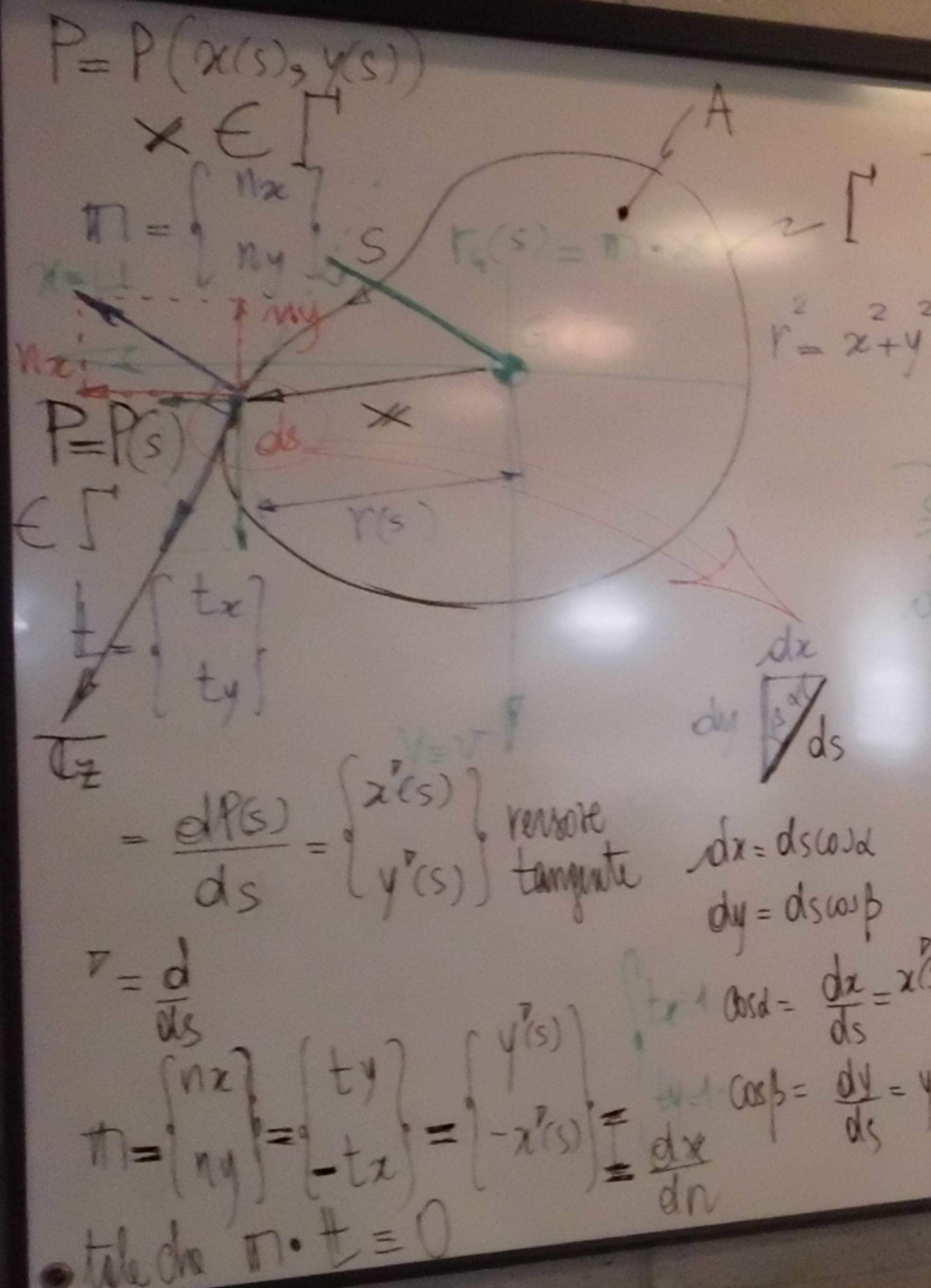
$$Tz_x, x + Tz_y, y = 0$$

$$GB \left(\psi_{xx} + 0 + \psi_{yy} + 0 \right) = 0$$

La facciamo della f.m. ψ

$$F = \{G^-, G_{xx}, G_{yy}\}$$

This image shows a single, horizontal page of aged, light brown paper. The paper has a slightly textured appearance with some minor discoloration and small dark spots, characteristic of old paper. There is no text or other markings on the page.



Equil al contorno

$$\tau_z \cdot n = \tau_{zx} n_x + \tau_{zy} n_y = 0 \text{ su } \Gamma$$

$$Gp(\psi_{q,x} n_x - \psi_{q,y} n_y + \psi_{q,z} n_z) = 0$$

$$\frac{\partial \psi_q}{\partial n} = \psi_{q,n} = \psi_{q,x} n_x + \psi_{q,y} n_y = -n_y x + n_x y \text{ su } \Gamma$$

derivate parziali
nella direzione n

Cio configura un pb.

di N-D. per l'equazione

di l'afaccia

$$\left. \begin{array}{l} \text{Set. circolare} \\ = x(s)x(s) + y(s)y(s) \\ \psi_{q,n} = 0, M_p = 0 \end{array} \right\} \psi_{q,n} = 0$$

$$\left. \begin{array}{l} \psi_{q,n} = 0 \\ \psi_{q,z} = 0 \\ \psi_{q,x} = 0 \end{array} \right\} \psi_{q,z} = 0$$

(no ingombro in setion circolare)

- Equilibrio statico $\tau_z \leftrightarrow M_t$

$$M_t = \int (\tau_{zy} x - \tau_{zx} y) dA$$

$$= Gp \int ((\psi_{q,y} x^2 - \psi_{q,x} y^2) dA)$$

$$= \int_A (x^2 + y^2) dA - \int_A (\psi_{q,x} y - \psi_{q,y} x) dA$$

non d'impeso J_4
permette G

$$0 \leq J_4 \leq \int_A (\psi_{q,x} y - \psi_{q,y} x) dA$$

$$M_t = \int_A \frac{d}{ds} \psi_{q,n} ds = \frac{M_p}{G}$$

$$= \frac{1}{G} \frac{d}{ds} \psi_{q,n}$$

$P = P(x(s), y(s))$
 $\times \in \Gamma$
 Γ
 $\Gamma_z \cdot n = \tau_{zx} n_x + \tau_{zy} n_y = 0 \text{ sul } \Gamma$
 $\Rightarrow (\tau_{q,z} n_x - \tau_{q,y} n_y + x n_y + y n_x) = 0$
 $\tau_{q,z} n_x - \tau_{q,y} n_y = -n_y x + n_x y \text{ su } \Gamma$
 $\text{e.c. di Neumann-Dini (flusso normale delle f.u. } \psi_q)$
 $\int_A (\tau_{q,z}^2 + \tau_{q,y}^2) dA - \int_A (-\tau_{q,y} x - \tau_{q,z} y) dA > 0$
 $\tau_{q,n} = -n_y x + n_x y \text{ su } \Gamma$
 $= t_x x + t_y y$
 $= t \cdot x$
 $\text{cioè configura un pb. di N-D. per l'equazione di Laplace}$
 $\text{Ser. circolare} = x'(s) x(s) + y'(s) y(s) \quad \psi_{q,n} \neq 0, \text{ se } y'(s) \neq 0$
 $y'(s) = 0 \quad \Rightarrow \psi_q = 0$
 $\text{no ampiamento in sottrazione}$
 $\tau_{q,n} = 0 \Rightarrow \psi_q = 0$
 $\tau_{q,z} = -t_x = -x'(s) = \frac{dx}{ds}$
 $t_x = \frac{dy}{ds} = y'(s)$
 $\bullet \text{tale che } t \cdot t = 0$

$\tau_z \cdot n = \tau_{zx} n_x + \tau_{zy} n_y = 0 \text{ sul } \Gamma$
 $\tau_{q,z} n_x - \tau_{q,y} n_y = -n_y x + n_x y \text{ su } \Gamma$
 $\text{e.c. di Neumann-Dini (flusso normale delle f.u. } \psi_q)$
 $\int_A (\tau_{q,z}^2 + \tau_{q,y}^2) dA - \int_A (-\tau_{q,y} x - \tau_{q,z} y) dA > 0$
 $\tau_{q,n} = -n_y x + n_x y \text{ su } \Gamma$
 $= t_x x + t_y y$
 $= t \cdot x$
 $\text{cioè configura un pb. di N-D. per l'equazione di Laplace}$
 $\text{Ser. circolare} = x'(s) x(s) + y'(s) y(s) \quad \psi_{q,n} \neq 0, \text{ se } y'(s) \neq 0$
 $y'(s) = 0 \quad \Rightarrow \psi_q = 0$
 $\text{no ampiamento in sottrazione}$
 $\tau_{q,n} = 0 \Rightarrow \psi_q = 0$
 $\tau_{q,z} = -t_x = -x'(s) = \frac{dx}{ds}$
 $t_x = \frac{dy}{ds} = y'(s)$
 $\bullet \text{tale che } t \cdot t = 0$

Equiv al contorno
 $\tau_z \cdot n = \tau_{zx} n_x + \tau_{zy} n_y = 0 \text{ sul } \Gamma$
 $\tau_{q,z} n_x - \tau_{q,y} n_y = -n_y x + n_x y \text{ su } \Gamma$
 $\text{e.c. di Neumann-Dini (flusso normale delle f.u. } \psi_q)$
 $\int_A (\tau_{q,z}^2 + \tau_{q,y}^2) dA - \int_A (-\tau_{q,y} x - \tau_{q,z} y) dA > 0$
 $\tau_{q,n} = -n_y x + n_x y \text{ su } \Gamma$
 $= t_x x + t_y y$
 $= t \cdot x$
 $\text{cioè configura un pb. di N-D. per l'equazione di Laplace}$
 $\text{Ser. circolare} = x'(s) x(s) + y'(s) y(s) \quad \psi_{q,n} \neq 0, \text{ se } y'(s) \neq 0$
 $y'(s) = 0 \quad \Rightarrow \psi_q = 0$
 $\text{no ampiamento in sottrazione}$
 $\tau_{q,n} = 0 \Rightarrow \psi_q = 0$
 $\tau_{q,z} = -t_x = -x'(s) = \frac{dx}{ds}$
 $t_x = \frac{dy}{ds} = y'(s)$
 $\bullet \text{tale che } t \cdot t = 0$

$\text{Equivalevza statica } \tau_z \leftrightarrow M_t$
 $M_t = \int_A (\tau_{zy} x - \tau_{zx} y) dA$
 $= G \beta \int_A (\tau_{q,y} x + x^2 - \tau_{q,z} y + y^2) dA$
 $\int_A (x^2 + y^2) dA - \int_A (\tau_{q,z} y - \tau_{q,y} x) dA > 0$
 $0 \leq J_{q,n}^* = \int_A [(\tau_{q,z})^2 + (\tau_{q,y})^2] dA < J_s$
 $J = \frac{J_G}{n}$
 $d\theta = \beta dt = \frac{M_t}{GJ} dz$
 $\text{fattore di portata}$
 $\beta = \frac{J_G}{J_s} - \frac{J_G}{J_s J_{q,n}^*} = \frac{1}{1 - J_{q,n}^*/J_s}$
 $\text{alla propria quantità dell'ut. trasversale}$
 $n = 1, \text{ se. circolare}$

- Equazione del contorno
 $T_{22}R_x + T_{2y}R_y = 0 \text{ da } \int$
 $\int_G (\psi_{G,x} R_x - \psi_{G,y} R_y + \psi_{G,y} R_y + \psi_{G,x} R_x) dA = 0$
 $= -R_y x + R_x y \text{ da } \int$
 E.E di Neumann-Dirichlet (funzione nulla delle f.u. ψ_s)
 $\psi_{G,x} = -R_y x + R_x y \text{ da } \int$
 Biologia: $\psi = t_2 x + t_2 y$
 a N.d. per le pressioni
 de solle: $\psi = t \cdot x$
 Sist. dinamico: $x(t)x(t) + y(t)y(t)$ $\psi_{G,x} = 0, \psi_{G,y} = 0$
 $\beta = 1$
 $N_u = 0$
 $\Rightarrow \psi_{G,x}$

- Equivalenza statica $\tau_z \leftrightarrow M_t$
 $M_t = \int_A (T_{2y} x - T_{2x} y) dA$
 $= \int_G ((\psi_{G,y} x + x^2 - \psi_{G,x} y + y^2) dA)$
 $\frac{M_t}{G\beta} = \underbrace{\int_A (x^2 + y^2) dA}_{\text{num. d'inerzia } J_G} - \underbrace{\int_A (x^2 - \psi_{G,y} x) dA}_{\text{flessibilità } G} > 0$
 $0 \leq \bar{J}_{G,\psi}^* = \int_A [(\psi_{G,x})^2 + (\psi_{G,y})^2] dA < J_G$
 $d\vartheta = \beta dt = \frac{M_t}{GJ} dz$
 $= \eta \frac{M_t}{GJ} dt$
 $(\eta = 1, \text{s.t. circolare})$